

Effect of matrices with low second ionization potentials on analytical signals in inductively coupled plasma mass spectrometry (Supplementary)

Petras Serapinas, Žilvinas Ežerinskis and Vida Juzikienė

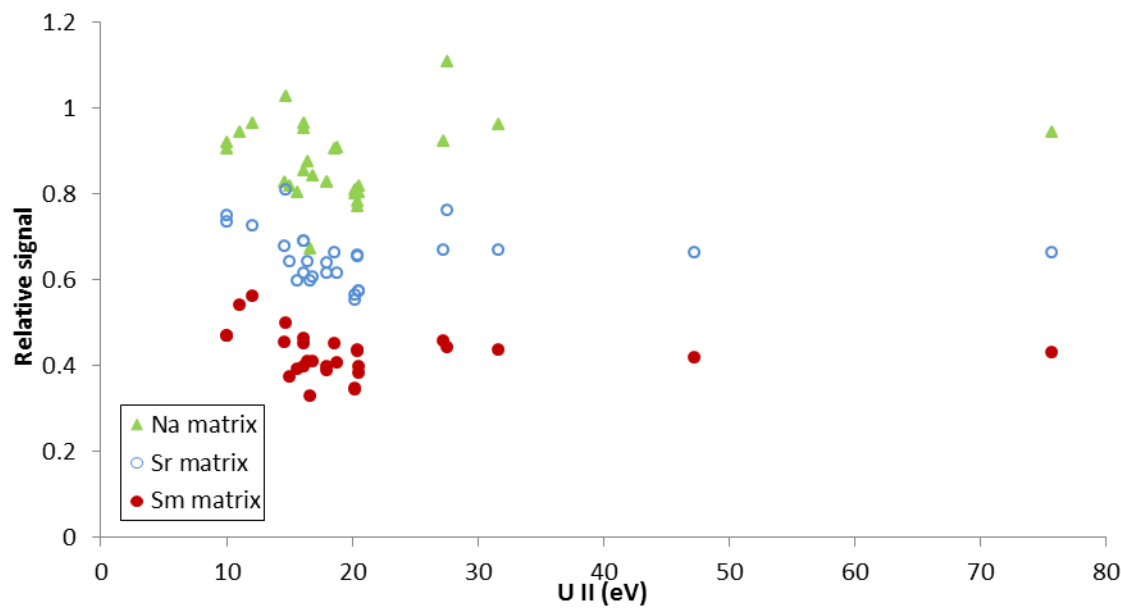


Fig. S1a Relative decrease of the signals of analytes in dependence on the 2nd IP in Na, Sr and Sm matrices at matrix concentrations 6 mM.

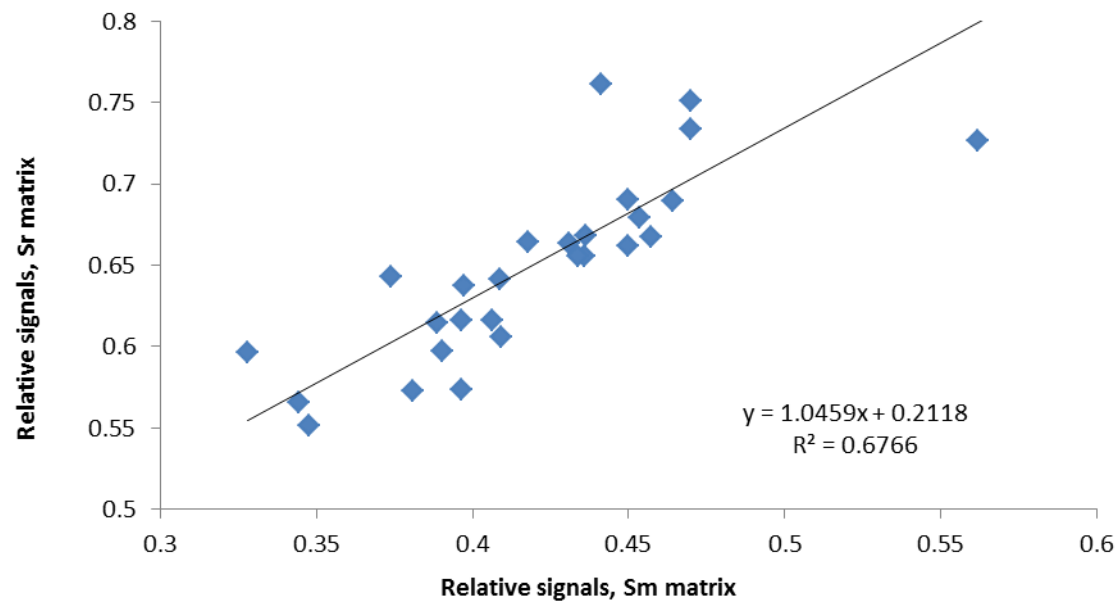


Fig. S1b Dependence between magnitudes of the matrix effects of Sr and Sm at 6 mM matrix concentration

Ratios of the signals in the samples with matrix to the signals in the sample without matrix

Ion	UII (eV)	Matrices		
		Sm	Sr	Na
Al27	18,82	0,41	0,62	0,91
Ar38	27,62	0,44	0,76	1,11
As75	18,64	0,45	0,66	0,91
Ba135	10,00	0,47	0,75	0,92
Ba137	10,00	0,47	0,73	0,90
Bi209	16,69	0,33	0,60	0,67
Cd111	16,90	0,41	0,61	0,84
Cr53	16,48	0,41	0,64	0,87
Cu63	20,28	0,34	0,57	0,81
Cu65	20,28	0,35	0,55	0,80
Fe56	16,18	0,40	0,62	0,85
Ga69	20,51	0,40	0,57	0,80
Ga71	20,51	0,38	0,57	0,82
K39	31,63	0,44	0,67	0,96
Li7	75,64	0,43	0,66	0,94
Mn55	15,64	0,39	0,60	0,80
Mo95	16,17	0,46	0,69	0,97
Mo97	16,17	0,45	0,69	0,95
Na23	47,28	0,42	0,66	
Pb207	15,03	0,37	0,64	0,82
Rb85	27,29	0,46	0,67	0,92
Tl203	20,43	0,44	0,66	0,78
Tl205	20,43	0,43	0,66	0,77
Tm169	12,05	0,56	0,73	0,97
U238	14,70	0,50	0,81	1,03

Zn66	17,96	0,40	0,64	0,83
Zn68	17,96	0,39	0,61	0,83
V51	14,66	0,45	0,68	0,83